

2-(2-苯并咪唑基)吡啶双核镉(II)配合物的水热合成、 晶体结构及荧光性质

郭应臣* 王雷博 尚华奇 史雪 杨慧
(南阳师范学院化学与制药工程学院, 南阳 473061)

摘要: 通过水热反应, 合成了2-(2-苯并咪唑基)吡啶(BMPY)镉(II)配合物 $[Cd_2Cl_4(BMPY)_2]$ 。对它进行了元素分析、热重、红外光谱及电子光谱表征, 并用X-射线单晶衍射测定了配合物的晶体结构。配体2-(2-苯并咪唑基)吡啶中的2个氮原子与3个氯原子与镉(II)配位, 形成五配位的畸变四角锥构型, 2个配位镉(II)离子通过双氯桥键结合成双核镉的配合物。该配合物通过分子间N-H...Cl, C-H...Cl氢键和 $\pi-\pi$ 作用形成一维链状结构。热重-微分热重(TG-DTG)分析结果表明, $[Cd_2Cl_4(BMPY)_2]$ 在320 °C以下无分解反应, 耐热性好。室温固态荧光测试显示, 配合物在408.9 nm(λ_{max})处具有较强的荧光发射。

关键词: 2-(2-苯并咪唑基)吡啶; 镉(II)配合物; 晶体结构; 荧光性质

中图分类号: O614.24² 文献标识码: A 文章编号: 1001-4861(2012)09-1904-05

Hydrothermal Synthesis, Crystal Structure and Photoluminescence Property of Cadmium(II) Complex of 2-(2-Benzimidazolyl)pyridine

GUO Ying-Chen* WANG Lei-Bo SHANG Hua-Qi SHI Xue YANG Hui

(College of Chemistry and Pharmacy Engineering, Nanyang Normal University, Nanyang, Henan 473061, China)

Abstract: A cadmium complex, $[Cd_2Cl_4(BMPY)_2]$ (BMPY: 2-(2-benzimidazolyl)pyridine), was synthesized by hydrothermal synthesis techniques and characterized by elemental analysis, thermogravimetric analysis, IR spectrum analysis and spectrofluorimetry. The single crystal structure was determined by the X-ray single crystal diffraction. The cadmium(II) is coordinated with three chlorine atoms and two nitrogen atoms of one 2-(2-benzimidazolyl)pyridine molecule, generating a distorted quadrangular pyramid coordination geometry, and the dinuclear complex is formed with two chlorine bridge bonds. One-dimensional chain structure is constructed by hydrogen bonds of N-H...Cl, C-H...Cl and $\pi-\pi$ interactions. TG-DTG and fluorescence analysis indicate that the complex has good thermal stability without decomposition reaction below 320 °C and exhibits a strong fluorescence-emission ($\lambda_{max}=408.9$ nm) in the solid state at room temperature. CCDC: 856775.

Key words: 2-(2-benzimidazolyl)pyridine; cadmium(II); crystal structure; photoluminescence

苯并咪唑类化合物是一种含有2个氮原子的苯并杂环化合物, 可作为药物中间体, 制备人、畜的驱虫药物等, 苯并咪唑衍生物及其金属配合物具有良好的生物活性^[1-2]。在医药方面, 由于苯并咪唑所含的咪唑环和苯并咪唑杂环具有抗寄生虫、抗菌、

抗炎、抗癌、镇静、利尿等药物活性, 对协调生理平衡具有重要意义。由于该类化合物具有特殊的结构、生理活性和反应活性等, 应用十分广泛^[3-4]。

目前研制的有机光致发光材料包括有机小分子材料、有机金属配合物和聚合物, 其中有机金属

收稿日期: 2012-03-14。收修改稿日期: 2012-06-05。

河南省教育厅自科基金(No.2011B150025)和南阳师范学院STP(No.STP2011001)资助项目。

*通讯联系人。E-mail:gycguo@yahoo.com.cn

配合物材料被认为是最有应用前景的发光材料之一,因为它既有无机物的热稳定性,又有有机物的高荧光量子效率。咪唑、苯并咪唑、吡啶基咪唑类的小分子作为配体而制得的有机金属配合物,大多具有良好的光致发光和电致发光性能,在光电功能材料领域逐渐受到人们的重视,有关合成和性质的研究日益活跃^[5-8]。为了探讨镉(II)与苯并咪唑及其衍生物形成的配合物的结构和性质,我们将邻苯二胺、2-吡啶羧酸与氯化镉的磷酸溶液作用,经水热反应,合成了一种新的2-(2-苯并咪唑基)吡啶镉(II)双核配合物[Cd₂Cl₄(BMPY)₂]。通过元素分析、红外光谱、紫外光谱和热重,对配合物进行了表征,用X射线单晶衍射测定了配合物的晶体结构,并研究了它的荧光性质。

1 实验部分

1.1 试剂与仪器

邻苯二胺、2-吡啶羧酸、氯化镉和磷酸均为分析纯。Elementar Vario El元素分析仪(Germany Elementar);红外光谱用NICOLET 5700 FT-IR型傅立叶红外光谱仪(Thermo Electron),KBr压片,碘化铯分束器,扫描范围225~4 000 cm⁻¹,分辨率1 cm⁻¹;Lambda 650s型UV/Vis spectrometer(Perkin Elmer);Netzsch STA 449F3同步热分析仪(Germany Netzsch),氮气气氛,Al₂O₃作参比,从室温到900 °C,升温速率为10 °C·min⁻¹;Bruker SMART APEX II CCD型单晶衍射仪(Germany Bruker);CARY Eclipse

型荧光分光光度计(VARIAN)。

1.2 单晶的合成^[9-10]

将0.460 g(2 mmol) CdCl₂·2.5H₂O溶于12 mL 10% H₃PO₄中,加入0.492 g(4 mmol)2-吡啶羧酸和0.413 g(4 mmol)邻苯二胺,搅拌后装入25 mL内衬聚四氟乙烯不锈钢反应釜内,填充度70%。程序升温,150 °C下晶化72 h,以0.3 °C·min⁻¹的降温速度降至室温,于釜底析出无色的块状晶体。用10% H₃PO₄、无水乙醇洗涤后,40 °C恒温真空干燥4 h,产率43.2%(按Cd²⁺浓度计)。配合物(C₂₄H₁₈N₆Cl₄Cd₂)的元素分析结果(括号内为计算值, %): C 38.29(38.07), H 2.45(2.40), N 10.92(11.10); IR(KBr, cm⁻¹): 3 147.0, 3 060.1, 2 890.0, 2752.0, 1 624.0, 1 600.2 (vs), 1 454.4 (vs), 1 439.8 (vs), 1 307.9, 1 293.0, 1 145.2 (s), 1 057.2 (s), 980.0, 754.7(s), 677.3, 435.1, 355.4。

1.3 晶体结构的测定

选取合适的配合物(0.28 mm×0.25 mm×0.17 mm)晶体样品,置于Bruker SMART APEX II CCD单晶衍射仪上,用经过石墨单色器单色化的Mo K α ($\lambda=0.071\text{073 nm}$)射线,在293(2) K温度下进行衍射测定。以 $\varphi-\omega$ 扫描方式在 $2.28^\circ \leq \theta \leq 25.00^\circ$ 范围内共收集3 136个衍射点,其中独立衍射点为2 155($R_{\text{int}}=0.011\text{6}$)个,采用2 090个可观测点($I>2\sigma(I)$)用于结构解析。全部数据经Lp校正和经验吸收校正,晶体结构由直接法解出,非氢原子坐标用逐次差值Fourier合成确定,全部非氢原子坐标及各向异性热参数用全矩阵最小二乘法修正(F^2)。有机配体上的氢为理论

表1 晶体学数据和结构参数

Table 1 Crystal data and crystal structure parameters

| | | | |
|-------------------------------|--|--|---|
| Empirical formula | C ₂₄ H ₁₈ N ₆ Cd ₂ Cl ₄ | Absorption coefficient / mm ⁻¹ | 2.180 |
| Formula weight | 757.06 | F(000) | 368 |
| Temperature / K | 293(2) | Crystal size / mm | 0.28×0.25×0.17 |
| Wavelength / nm | 0.071 073 | θ range for data collection / (°) | 2.28 to 25.00 |
| Crystal system | Triclinic | Limiting indices | -8 ≤ h ≤ 9, -10 ≤ k ≤ 9, -11 ≤ l ≤ 11 |
| Space group | P $\bar{1}$ | Transmission factors | 0.708 2 and 0.580 4 |
| a / nm | 0.784 9(4) | Reflections collected / unique (R_{int}) | 3 136 / 2 155(0.011 6) |
| b / nm | 0.897 9(4) | Refinement method | Full-matrix least-squares on F^2 |
| c / nm | 0.946 5(4) | Completeness to $\theta=25.00^\circ$ / % | 98.9 |
| α / (°) | 103.322(7) | Data / restraints / parameters | 2 155 / 0 / 163 |
| β / (°) | 101.155(7) | Goodness-of-fit on F^2 | 1.062 |
| γ / (°) | 100.642(7) | Final R indices ($I>2\sigma(I)$) | $R_1=0.018\text{4}, wR_2=0.048\text{8}$ |
| Volume / nm ³ | 0.618 2(5) | R indices (all data) | $R_1=0.019\text{0}, wR_2=0.049\text{1}$ |
| D_c / (g·cm ⁻³) | 2.034 | $\Delta\rho_{\text{min}}, \Delta\rho_{\text{max}} / (\text{e} \cdot \text{nm}^{-3})$ | -554, 280 |
| Z | 1 | | |

加氢。所有的计算均采用 SHELXTL-97^[11]程序包在 PC 计算机上完成。有关晶体学数据见表 1。

CCDC:856775。

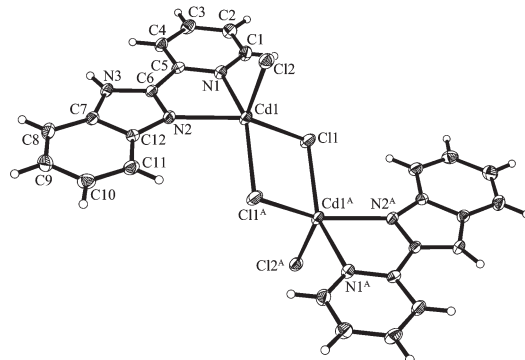
2 结果与讨论

2.1 红外光谱

在配合物的红外光谱图上, 出现在 3 147.0、2890.0、2752.0 cm⁻¹(w) 为苯并咪唑环上 N-H 的伸缩振动; 3 060.2 cm⁻¹ 为苯环 C-H 的伸缩振动; 1 600.2、1 454.4 和 1 293.0 cm⁻¹ 处分别出现 $\nu(\text{C}=\text{N})$ 、 $\nu(\text{C}=\text{C})$ 和 $\nu(\text{C}-\text{N})$ 的伸缩振动峰; 由于配合物中咪唑 N 及吡啶 N 与金属离子发生配位, 从而使咪唑及吡啶环上的 C=N 伸缩及 N-H 振动发生分裂并向低波数方向位移, 这些均表明咪唑 N 及吡啶 N 原子参加了配位。435.1 和 355.4 cm⁻¹(w) 处出现的新吸收峰为 $\nu_{\text{Cd-N}}$ 的伸缩振动^[12]。

2.2 晶体结构分析

配合物的部分键长、键角数据列于表 2, 氢键数据列于表 3, 配合物的分子结构示于图 1, 一维链状堆积图示于图 2。



Symmetry code: ^A -x+1, -y+1, -z+2

图 1 配合物的分子结构

Fig.1 Molecular structure of the complex

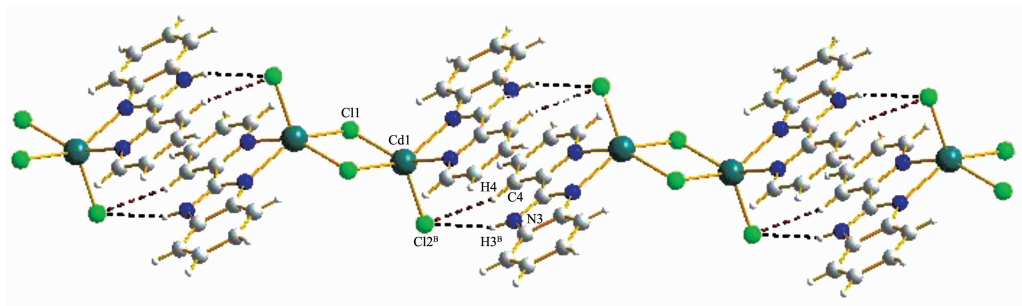


图 2 配合物沿 a 轴的一维链状结构

Fig.2 One-dimensional chain structure along *a* axis of the complex

表 2 配合物的主要键长和键角

Table 2 Selected bond lengths (nm) and bond angles (°) of complex

| | | | | | |
|--------------------------------|--------------|--------------------------------|--------------|--------------------------------|--------------|
| Cd(1)-N(2) | 0.229 6(2) | Cd(1)-N(1) | 0.235 7(2) | Cd(1)-Cl(2) | 0.246 36(12) |
| Cd(1)-Cl(1) | 0.257 46(10) | Cd(1)-Cl(1) ^A | 0.258 58(11) | Cl(1)-Cd(1) ^A | 0.258 58(11) |
| N(2)-Cd(1)-N(1) | 71.65(7) | N(2)-Cd(1)-Cl(2) | 102.11(5) | N(1)-Cd(1)-Cl(2) | 101.25(6) |
| N(2)-Cd(1)-Cl(1) | 140.92(5) | N(1)-Cd(1)-Cl(1) | 89.54(6) | Cl(2)-Cd(1)-Cl(1) | 115.26(3) |
| N(2)-Cd(1)-Cl(1) ^A | 95.26(5) | N(1)-Cd(1)-Cl(1) ^A | 151.53(5) | Cl(2)-Cd(1)-Cl(1) ^A | 106.27(4) |
| Cl(1)-Cd(1)-Cl(1) ^A | 85.32(3) | Cd(1)-Cl(1)-Cd(1) ^A | 94.68(3) | C(1)-N(1)-Cd(1) | 124.82(16) |
| C(5)-N(1)-Cd(1) | 116.81(14) | C(6)-N(2)-Cd(1) | 115.29(14) | C(12)-N(2)-Cd(1) | 138.59(15) |

Symmetry code: ^A -x+1, -y+1, -z+2.

表 3 配合物的氢键

Table 3 Hydrogen bonds of complex

| D-H···A | d(D-H)/nm | d(H···A)/nm | d(D···A)/nm | ∠(DHA)/° |
|---------------------------------|-----------|-------------|-------------|----------|
| N(3)-H(3B)···Cl(2) ^B | 0.086 0 | 0.245 0 | 0.327 3(3) | 160.00 |
| C(4)-H(4)···Cl(2) ^B | 0.093 0 | 0.282 0 | 0.368 6(3) | 155.00 |

Symmetry code: ^B -x, 1-y, 1-z.

邻苯二胺、2-吡啶羧酸与氯化镉在10%磷酸溶液中,通过水热反应,分子间脱水、关环生成2-(2-苯并咪唑基)吡啶。由图1可知,配合物由2个Cd(II)离子与2个2-(2-苯并咪唑基)吡啶分子及4个氯阴离子组成。中心金属离子Cd(1)与2-(2-苯并咪唑基)吡啶分子中的N(1)、N(2)及氯阴离子中的Cl(2)、Cl(1)、Cl(1)^A原子配位,构成一个五配位的畸变四方锥构型。其中,N(1)、N(2)、Cl(1)和Cl(1)^A4个原子位于四方锥的4个底角,Cd(1)-N(2)键长为0.229 6(2) nm,Cd(1)-N(1)键长为0.235 7(2) nm,Cd(1)-Cl(1)键长为0.257 46(10) nm,Cd(1)-Cl(1)^A键长为0.258 58(11),底面上4个原子与Cd(1)构成的最大键角为95.26(5)°,最小键角为71.65(7)°;Cl(2)位于四方锥的锥顶,Cd(1)-Cl(2)键长0.246 36(12) nm,与底边上的原子构成的4个键角中最大的键角为115.26(3)°,最小的键角为101.25(6)°,平均键角为106.22°;Cd(1)位于四方锥底面上,距底面0.069 6 nm。Cd(1)^A离子同样处于畸变的四方锥配位环境中。2个Cd(II)离子又通过氯桥键Cd(1)-Cl(1)-Cd(1)^A形成双核配合物,见图1。

在配合物的晶胞堆积图中,沿a轴方向分子间通过氢键N(3)-H(3B)…Cl(2)^B、非经典氢键C(4)-H(4)…Cl(2)^B和π-π堆积作用连接成一维链状结构,见图2。吡啶环与苯并咪唑环在同一平面内,1分子的苯并咪唑环与另1分子的吡啶环间存在π-π堆积作用,其质心距为0.337 11 nm,二面角为0.291(43)°。

2.3 差热-热重分析

配合物的热重分析在31~900 °C范围内测定(TG-DTG)。从31~320 °C之间为一平台,无失重,表明配合物既无结晶水,也无配位水,具有良好的热稳定性;在320.0~408.0 °C之间有1个明显的快速

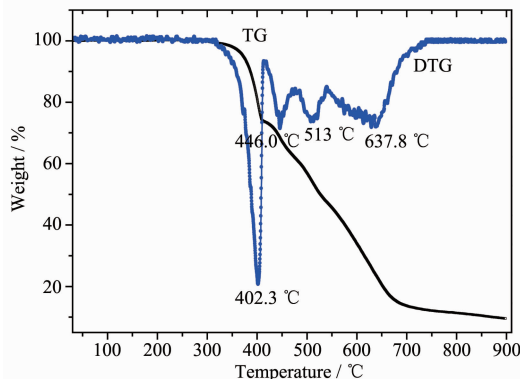


图3 配合物的TG-DTG曲线

Fig.3 TG-DTG curves of the complex

质量损失过程,峰温为402.3 °C,质量损失达到24.9%;接着又出现第2、第3个失重过程,峰温分别为446.0 °C、513.0 °C,总共失重52.11%,相当于失去2个配体(2-(2-苯并咪唑基)吡啶),计算值为51.57%;从518 °C到900 °C为一缓慢失重过程,最终余重9.5%,远低于CdCl₂的质量,计算值48.42%,这是由于CdCl₂的缓慢挥发的原因(CdCl₂的沸点为960 °C)。

2.4 紫外-可见光谱

从配体和配合物的固体紫外-可见光谱图4可看出,在222和343 nm左右出现的2个吸收带(K带、R带),为2-(2-苯并咪唑基)吡啶配体的π→π*电子跃迁吸收及n→π*电子跃迁吸收,而642 nm处出现新的吸收,是2-(2-苯并咪唑基)吡啶配体与Cd(II)离子配位后产生的d-d跃迁吸收峰^[13]。

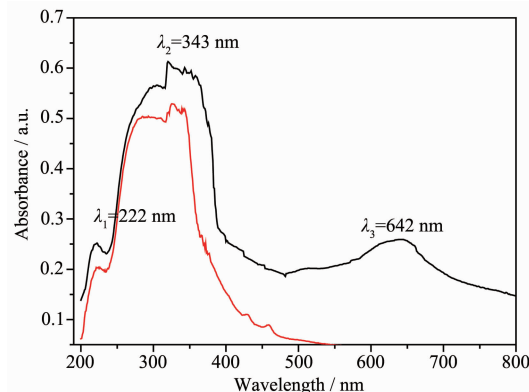


图4 室温下配体和配合物的固体紫外-可见光谱

Fig.4 Electronic absorption spectra of ligand and complex in solid state at room temperature

2.5 荧光光谱

图5是配体BMPY和配合物在室温下的固体荧光发射光谱,扫描速度12 000 nm·min⁻¹,激发和

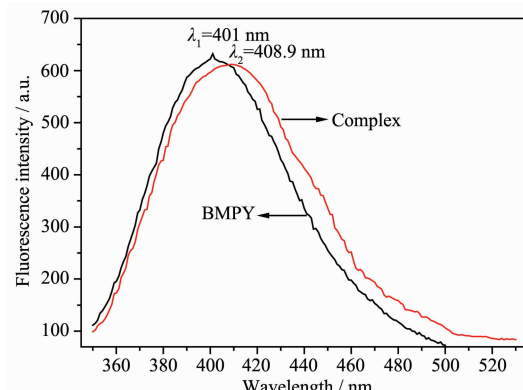


图5 室温下配体BMPY和配合物的固体荧光发射光谱

Fig.5 Emission spectra of ligand and complex in solid state at room temperature

发射狭缝均为5 nm,PMT检测器高压500 V,它们的激发波长均为 $\lambda_{\text{ex}}=340$ nm。

由图5可知,室温时配体的发射峰 $\lambda_{\text{max}}=401.0$ nm,归属于配体 $\pi^*\rightarrow\pi$ 跃迁。配合物的发射峰出现在 $\lambda_{\text{max}}=408.9$ nm,强度与配体接近,红移较少,由此可见配合物的荧光是由配体产生的。

参考文献:

- [1] Evans T M, Gardiner J M, Mahmood N, et al. *Bioorg. Med. Chem. Lett.*, **1997**, *7*(4):409-412
- [2] LI Yan(李焱), MA Hui-Qiang(马会强), WANG Yu-Lu(王玉炉). *Chinese J. Org. Chem.(Youji Huaxue)*, **2008**, *28*(2):210-217
- [3] Yang X P, Su C Y, Kang B S, et al. *J. Dalton Trans.*, **2000**, *19*:3253-3260
- [4] Craigo W A, Lesueur B W, Skibo E B. *J. Med. Chem.*, **1999**, *42*(17):3324-3333
- [5] JING Xi-Bi(景峭壁), BI Xiao-Xin(毕晓昕), WANG Qing(汪清), et al. *Chinese J. Org. Chem.(Youji Huaxue)*, **2010**, *30*(4):539-545
- [6] LI Jing(李静), JI Chang-Chun(季长春), WANG Zuo-Wei(王作为), et al. *Chinese J. Inorg. Chem.(Wuji Huaxue Xuebao)*, **2009**, *25*(12):2083-2089
- [7] XIA Hong-Yu(夏宏宇), ZHA Xiao-Chun(查筱春), LIU Guang-Xiang(刘光祥), et al. *Chinese J. Inorg. Chem.(Wuji Huaxue Xuebao)*, **2011**, *27*(7):1441-1445
- [8] YI Ping-Gui(易平贵), WANG Tao(王涛), YU Xian-Yong(于贤勇), et al. *Chinese J. Inorg. Chem.(Wuji Huaxue Xuebao)*, **2011**, *27*(3):480-486
- [9] GUO Ying-Chen(郭应臣), CHEN Shu-Yang(陈书阳), QIU Dong-Fang(邱东方), et al. *Chinese J. Inorg. Chem.(Wuji Huaxue Xuebao)*, **2011**, *27*(8):1517-1522
- [10] QIU Dong-Fang(邱东方), GUO Ying-Chen(郭应臣), FENG Yu-Quan(冯玉全), et al. *Chinese J. Inorg. Chem.(Wuji Huaxue Xuebao)*, **2010**, *26*(9):1663-1668
- [11] Sheldrick G M. *SHELXTL, Program for the Solution and the Refinement of Crystal Structures*, Universität Göttingen, Germany, **1997**.
- [12] MIAO Fang-Ming(缪方明), ZHOU Wei-Hong(周卫红), HAN Jian-Guo(韩建国), et al. *Chinese J. Inorg. Chem.(Wuji Huaxue Xuebao)*, **1996**, *12*(3):234-238
- [13] SHANG Jun-Fei(尚军飞), REN Shu-Hua(任淑华), ZHEN Yan-Zhong(甄延忠), et al. *Acta Chim. Sin. (Huaxue Xuebao)*, **2008**, *66*(2):205-210